

# О границах фаз целочисленного квантового эффекта Холла

С. С. Мурзин<sup>1)</sup>

Институт физики твердого тела РАН, 142432 Черноголовка, Московская обл., Россия

Поступила в редакцию 6 февраля 2009 г.

После переработки 13 февраля 2009 г.

Отмечено, что в рамках теории двухпараметрического скейлинга положение фаз целочисленного квантового эффекта Холла (ЦКЭХ) на оси магнитных полей при  $\omega_c \tau \lesssim 1$  не определяется значениями фактора заполнения  $\nu = nh/eB$ . Положение фаз ЦКЭХ задается затравочной холловской проводимостью  $\sigma_{xy}^0$ . В связи с этим показано, что диагональное сопротивление в магнитном поле, измеренное в работе [8] [Phys. Rev. B **64**, 161308 (2001)], не демонстрирует переходов между состояниями ЦКЭХ с  $\sigma_{xy} = 3, 4$  и  $6$ , с одной стороны, и диэлектрическим состоянием, с другой стороны, в противоположность тому, что заявляют авторы.

PACS: 71.30.+h, 73.43.-f

Фазовая диаграмма целочисленного квантового эффекта Холла (ЦКЭХ) привлекает к себе внимание уже много лет как теоретически, так и экспериментально. Трактовка ЦКЭХ на основе теории двухпараметрического скейлинга [1], представленной графически диаграммой потока [2, 3], предлагает решение проблемы без учета электрон-электронного взаимодействия. Дальнейшее развитие скейлинговой теории показало, что электрон-электронное взаимодействие [4–7] не влияет на положение границ фаз ЦКЭХ.

Согласно скейлинговому подходу, граница между двумя фазами ЦКЭХ возможна только в том случае, если в этих фазах квантованные значения холловской проводимости при нулевой температуре  $\sigma_{xy}^q$  отличаются (в единицах  $e^2/h$ ) на 1 или, в случае вырождения уровней Ландау по спину, на 2. В работе [8] было доложено, что в гетероструктурах *p*-SiGe диэлектрические фазы наблюдаются между фазами ЦКЭХ с факторами заполнения  $\nu = 2$  и  $3$ ,  $3$  и  $4$ ,  $4$  и  $6$ . Авторы предполагают, что величины  $\nu$  равны  $\sigma_{xy}^q$ , значит, изменения  $\sigma_{xy}^q$  при фазовых переходах  $3 \leftrightarrow 0$ ,  $4 \leftrightarrow 0$  и  $6 \leftrightarrow 0$  больше 2 (0 означает диэлектрическое состояние) и трактовка ЦКЭХ на основе теории двухпараметрического скейлинга неверна.

В настоящей работе отмечено, что в рамках теории двухпараметрического скейлинга положение фаз ЦКЭХ на оси магнитных полей не определяется фактором заполнения  $\nu$  при  $\omega_c \tau \lesssim 1$ . Здесь  $\omega_c = eB/m$  – циклотронная частота,  $\tau$  – транспортное время релаксации,  $m$  – эффективная масса электрона. Положение фаз задается затравочной (см. ниже) холлов-

ской проводимостью  $\sigma_{xy}^0$ . В связи с этим показано, что зависимости диагонального сопротивления  $\rho_{xx}$  от магнитного поля  $B$ , приведенные в работе [8], не демонстрируют наличия ЦКЭХ с  $\sigma_{xy}^q = 3, 4$  и  $6$ , и, тем более переходы,  $3 \leftrightarrow 0$ ,  $4 \leftrightarrow 0$  и  $6 \leftrightarrow 0$ .

Затравочная (неперенормированная) холловская проводимость ( $\sigma_{xy}^0$ ) соответствует диффузионному движению электрона без интерференционных (локализационных) эффектов на расстояниях, больших, чем шаг диффузии. Она испытывает осцилляции Шубникова – де Гааза при изменении магнитного поля [3]. Согласно скейлинговой теории, для безспиновых электронов [1–3] разные фазы ЦКЭХ разделены в магнитных полях  $B_i$ , в которых

$$\sigma_{xy}^0(B_i) = i + 1/2 \quad (1)$$

( $i = 0, 1, 2, 3, \dots$ ). Осцилляции Шубникова – де Гааза  $\sigma_{xy}^0$  малы при  $\omega_c \tau \lesssim 1$  и при  $\omega_c \tau \gg 1$ , где  $\sigma_{xy}^0 \approx \nu$ . Поэтому для грубого рассмотрения ограничимся классическим выражением для затравочной холловской проводимости (в единицах  $e^2/h$ )

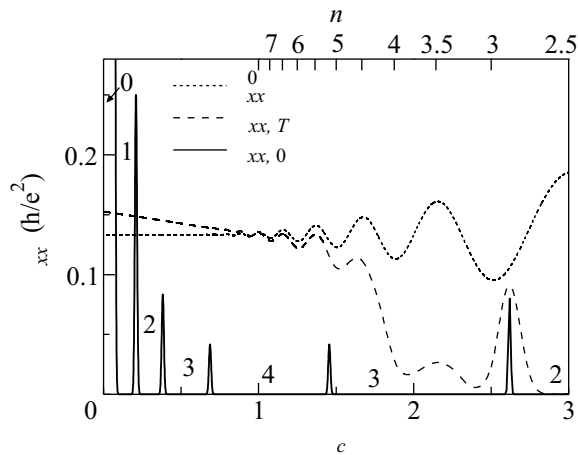
$$\sigma_{xy}^0 = \frac{n\tau\hbar}{m} \frac{\omega_c \tau}{1 + (\omega_c \tau)^2} = \nu \frac{(\omega_c \tau)^2}{1 + (\omega_c \tau)^2}. \quad (2)$$

Из выражения (2) следует, что при  $\omega_c \tau \lesssim 1$  величина  $\sigma_{xy}^0 \neq \nu$  и, значит, положения границ фаз ЦКЭХ в магнитном поле отлично от положения полужелтых значений  $\nu$ , при которых возникают максимумы осцилляций Шубникова – де Гааза затравочного диагонального сопротивления  $\rho_{xx}^0$ . Положение границ фаз ЦКЭХ находится из решения уравнений (1) и (2).

Рассмотрим для примера двумерную систему с удельным сопротивлением в нулевом магнитном поле  $\rho_0 = 0.133$  в единицах  $h/e^2$ , энергией Ферми  $E_F = 7.5$  К, эффективной массой  $m = 0.3m_0$  ( $m_0$  – масса

<sup>1)</sup>e-mail: murzin@issp.ac.ru

покоя свободного электрона). В этом случае транспортное время релаксации  $\tau = \hbar/\rho_0 k_B E_F = 7.64 \cdot 10^{-12}$  и  $n = mE_F/2\pi\hbar^2 = 4.05 \cdot 10^{14} \text{ м}^{-2}$ . Здесь  $k_B$  – постоянная Больцмана. На рисунке схематически



Схематически затравочное диагональное сопротивление  $\rho_{xx}^0$  (пунктирная линия), диагональное сопротивление при действии локализационных эффектов, но конечной температуре  $\rho_{xx,T}$  (штриховая линия) и диагональное сопротивление при нулевой температуре  $\rho_{xx,0}$  (сплошная линия) в зависимости от  $\omega_c\tau$ . Верхняя шкала обратно пропорциональна  $\nu$ . На ней отмечены целые и полуцелые значения фактора заполнения  $\nu$ . Числа между пиками  $\rho_{xx,0}$  указывают значения холловской проводимости при нулевой температуре  $\sigma_{xy}^q$  в разных фазах ЦКЭХ

построены затравочное диагональное сопротивление  $\rho_{xx}^0$  (пунктирная линия), диагональное сопротивление при действии локализационных эффектов, но конечной температуре  $\rho_{xx,T}$  (штриховая линия) и диагональное сопротивление при нулевой температуре  $\rho_{xx,0}$  (сплошная линия) в зависимости от  $\omega_c\tau$ . Верхняя шкала на рисунке обратно пропорциональна  $\nu$ . Задав верхнюю шкалу, мы затем, зная  $n$ ,  $\tau$  и  $m$ , построили нижнюю шкалу  $\omega_c\tau$ :

$$\omega_c\tau = \frac{n\hbar\tau}{m\nu} = \frac{7.5}{\nu}. \quad (3)$$

Затравочное диагональное сопротивление  $\rho_{xx}^0$  построено так, чтобы максимумы осцилляций Шубникова – де Гааза располагались при полуцелых значениях  $\nu$ , а минимумы – при целых  $\nu$ . Амплитуда осцилляций нарисована произвольно. Величина диагонального сопротивления при нулевой температуре  $\rho_{xx,0}$  равна 0 везде, за исключением границ фаз ЦКЭХ. На границах фаз расположены пики, положение которых рассчитано по формулам (1) и (2), а амплитуды [9] при переходах  $\sigma_{xy}^q \leftrightarrow \sigma_{xy}^q + 1$  равны  $1/2\sigma_{xy}^q(\sigma_{xy}^q + 1)$ . Поло-

жение пиков отлично от положения максимумов осцилляций Шубникова – де Гааза затравочного сопротивления  $\rho_{xx}^0$ . Например, максимумы  $\rho_{xx}^0$  при  $\nu = 3.5$  и 4.5 при нулевой температуре оказываются в области ЦКЭХ с  $\sigma_{xy}^q = 3$  и нулевым  $\rho_{xx,0}$ . Минимум  $\rho_{xx}^0$  при  $\nu = 6$  при нулевой температуре оказывается в минимуме ЦКЭХ с  $\sigma_{xy}^q = 4$ , а ЦКЭХ с  $\sigma_{xy}^q = 6$  отсутствует.

Чтобы показать, как кривая  $\rho_{xx}^0(\omega_c\tau)$  трансформируется в кривую  $\rho_{xx,0}(\omega_c\tau)$  по мере усиления локализационных эффектов, мы построили схематически диагональное сопротивление при конечной температуре  $\rho_{xx,T}$ . В сильных магнитных полях зависимость  $\rho_{xx,T}(\omega_c\tau)$  представляет собой уширенные пики на границах фаз. В слабых магнитных полях при  $\omega_c\tau < 1$  величина  $\rho_{xx,T} > \rho_{xx}^0$  из-за квантовых поправок. В промежуточной области ( $1.5 < \omega_c\tau < 2.5$ ) минимумы и максимумы  $\rho_{xx,T}$  проседают вниз.

Исходя из выше сказанного, рассмотрим результаты работы [8]. Авторы [8] представили зависимость диагонального сопротивления  $\rho_{xx}$  от магнитного поля для дырочных гетероструктур *p*-SiGe. Они трактуют слабые минимумы  $\rho_{xx}$  как проявления ЦКЭХ с квантовыми значениями  $\sigma_{xy}^q = \nu$  и утверждают, что наблюдают диэлектрические фазы между фазами ЦКЭХ с  $\nu = 2$  и 3, 3 и 4, 4 и 6. При этом они полагают, что фазы ЦКЭХ характеризуются факторами заполнения, и в этих фазах  $\sigma_{xy}^q$  равно ближайшему целому значению  $\nu$ . Согласно нашему рассмотрению проблемы, это не так. При  $\omega_c\tau \lesssim 1$  величина  $\sigma_{xy}^q < \nu$  (см. уравнение (2)). Хотя в работе [8] приведены только зависимости  $\rho_{xx}$  от  $B$ , можно показать, что  $\sigma_{xy} < 1.7$  везде при  $\nu > 1.2$ , в том числе и при  $\nu = 3, 4$  и 6. Действительно,

$$\max[\sigma_{xy}] = \max \left[ \frac{\rho_{xy}}{(\rho_{xx})^2 + (\rho_{xy})^2} \right]_{\rho_{xx}=\text{const}} = 1/2\rho_{xx}. \quad (4)$$

Для всех  $\nu > 1.2$  величина  $\rho_{xx} > 0.29$ , и значит,  $\sigma_{xy} < 1.7$ . Величина 1.7 существенно меньше, чем 3, 4 и 6, поэтому нет оснований говорить о ЦКЭХ с  $\sigma_{xy}^q = 3, 4$  и 6 и о переходах  $3 \leftrightarrow 0, 4 \leftrightarrow 0$  и  $6 \leftrightarrow 0$ . Согласно скейлинговой теории, в рассматриваемых образцах возможен ЦКЭХ только с  $\sigma_{xy}^q = 1$  и 2.

Итак, в работе отмечено, что положение фаз целочисленного квантового эффекта Холла на оси магнитных полей определяется затравочной холловской проводимостью ( $\sigma_{xy}^0$ ), а не фактором заполнения.  $\sigma_{xy}^0 \neq \nu$  для  $\omega_c\tau \lesssim 1$ . Экспериментальные результаты работы [8] не свидетельствуют о прямых переходах из

диэлектрической фазы в фазы целочисленного квантового эффекта Холла с  $\sigma_{xy}^q \geq 3e^2/h$ .

Автор благодарен В.Ф. Гантмахеру за полезные обсуждения. Работа поддержана Российским фондом фундаментальных исследований и ИНТАС.

1. H. Levine, S. B. Libby, and A. M. M. Pruisken, *Phys. Rev. Lett.* **51**, 1915 (1983).
2. D. E. Khmel'nitskii, *Pis'ma v ZhETF* **38**, 454 (1983) [*JETP Lett.* **38**, 552 (1984)]; *Phys. Lett. A* **106**, 182 (1984); *Helvetica Phys. Acta* **65**, 164 (1992).
3. A. M. M. Pruisken, in *The Quantum Hall Effect*, Eds. R. E. Prange and S. M. Girvin, Springer-Verlag, 1990.
4. A. M. M. Pruisken and I. S. Burmistrov, *Ann. of Phys. (N.Y.)* **316**, 285 (2005).
5. A. M. M. Pruisken, M. A. Baranov, and I. S. Burmistrov, *Pis'ma v ZhETF* **82**, 166 (2005) [*JETP Lett.* **82**, 150 (2005)].
6. A. M. M. Pruisken and I. S. Burmistrov, *Ann. of Phys. (N.Y.)* **322**, 1265 (2007).
7. A. M. M. Pruisken and I. S. Burmistrov, *Pis'ma v ZhETF* **87**, 252 (2008) [*JETP Lett.* **87**, 220 (2008)].
8. M. R. Sakr, Maryam Rahimi, S. V. Kravchenko et al., *Phys. Rev. B* **64**, 161308 (2001).
9. S. S. Murzin, *Письма в ЖЭТФ* **88**, 374 (2008) [*JETP Lett.* **88**, 326 (2008)].